

Tentti 14.12.2009, kello 13 ... 16, sali S3

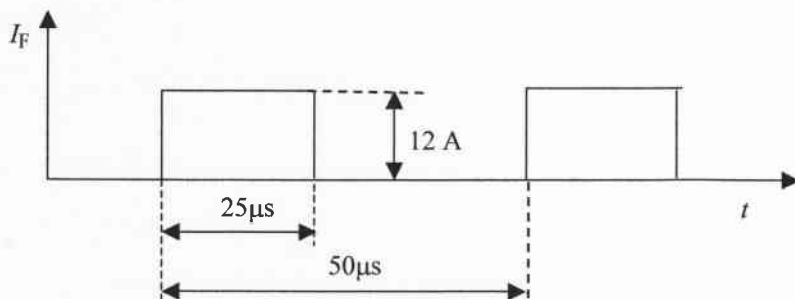
Papereihin

- sukunimi ja etunimet
- opiskelijanumero
- koulutusohjelma.

Tentissä sallitut apuvälaineet

- kynät, kumit jne.
- taskulaskin
- lukion kaavakokoelma tms. + Laplace taulut

1. Selvitä lyhyesti (max. 2...4 lausetta + mahdollinen kuva), mitä seuraavilla termeillä tarkoitetaan
 - neutronisäteilytys
 - tyristorin toipumisaika
 - varistori
 - lähivaikutus
 - Hall-anturi.
2. Esittele IGBT:n rakenne, toimintaperiaate ja ominaisuudet.
3. Esittele kirjassa esitettyt vastustyyppit, niiden ominaisuudet ja käyttötarkoitukset. Kerro myös mitäasioita on otettava huomioon vastuksen valinnassa ja mitoituksessa.
4. Taajuusmuuttajassa aiotaan käyttää Schottky-diodia IDH15S120. Diodin virran oletetaan olevan yksinkertaisuuden vuoksi alla olevan kuvan mukaista. Ympäristölämpötila on 60 °C ja jännite diodin siirtyessä estotilaan 900 V. Mikä on tarvittavan jäähdyslelementin lämpövästus? Oleta katkaisuhäviöenergian olevan yhtäsuuri kuin diodin liitoskapasitanssiin varautuva energia.



5. Ferriittisydämen omaava muuntaja, jonka häviöteho on 2,5 W, on asennettu piirilevylle siten, että sydän on tiivisti piirilevyä vasten. Muuntajan piirilevyä vasten olevan pinnan pinta-ala on noin 15 cm^2 ja muun osan pinta-ala on noin 70 cm^2 . Muuntajan lämpövästusta arvioidaan kaavalla $R_{th} = 11,7 A^{-0,7} P_H^{-0,15}$ jossa R_{th} on lämpövästus, yksikkö K/W, A on pinta-ala neliödesimetreissä ja P_H häviöteho wattaina.
 - a) Mikä on muuntajan lämpövästus, jos sen oletetaan jäähtyvän kaikilta pinnoiltaan?
 - b) Mikä on muuntajan lämpövästus, jos oletetaan ettei piirilevyn kautta johdu lämpöä?
 - c) Mikä on muuntajan alla olevan piirilevyn lämpövästus jos sen paksuus on 2 mm ja lämmönjohtavuus $\lambda = 0,3 \frac{\text{W}}{\text{K m}}$. Oleta, että lämpöä siirryy vain muuntajan kokoiselta alueelta.
 - d) Mikä on muuntajan lämpövästus piirilevyn vaikutus huomioiden?

thinQ!™ SiC Schottky Diode

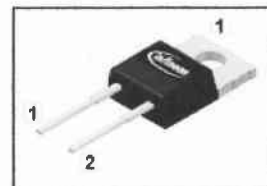
Features

- Revolutionary semiconductor material - Silicon Carbide
- Switching behavior benchmark
- No reverse recovery/ No forward recovery
- Temperature independent switching behavior
- High surge current capability
- Pb-free lead plating; RoHS compliant
- Qualified according to JEDEC¹⁾ for target applications
- Optimized for high temperature operation
- Lowest Figure of Merit Q_C/I_F

Product Summary

V_{DC}	1200	V
Q_C	54	nC
$I_F; T_C < 130^\circ\text{C}$	15	A

PG-T0220-2



thinQ!™ Diode designed for fast switching applications like:

- SMPS e.g.; CCM PFC
- Motor Drives; Solar Applications; UPS

Type	Package	Marking	Pin 1	Pin 2
IDH15S120	PG-T0220-2	D15S120	C	A

Maximum ratings

Parameter	Symbol	Conditions	Value	Unit
Continuous forward current	I_F	$T_C < 130^\circ\text{C}$	15	A
Surge non-repetitive forward current, sine halfwave	$I_{F,SM}$	$T_C = 25^\circ\text{C}, t_p = 10 \text{ ms}$	78	
		$T_C = 150^\circ\text{C}, t_p = 10 \text{ ms}$	66	
Non-repetitive peak forward current	$I_{F,max}$	$T_C = 25^\circ\text{C}, t_p = 10 \mu\text{s}$	300	
i^2t value	$\int i^2 dt$	$T_C = 25^\circ\text{C}, t_p = 10 \text{ ms}$	30	A^2s
		$T_C = 150^\circ\text{C}, t_p = 10 \text{ ms}$	20	
Repetitive peak reverse voltage	V_{RRM}	$T_j = 25^\circ\text{C}$	1200	V
Diode dv/dt ruggedness	dv/dt	$V_R = 0 \dots 480 \text{ V}$	50	V/ns
Power dissipation	P_{tot}	$T_C = 25^\circ\text{C}$	187.5	W
Operating and storage temperature	T_j, T_{stg}		-55 ... 175	°C
Mounting torque		M3 and M3.5 screws	60	Ncm



IDH15S120

Parameter	Symbol	Conditions	Values			Unit
			min.	typ.	max.	

Thermal characteristics

Thermal resistance, junction - case	R_{thJC}		-	-	0.8	K/W
Thermal resistance, junction - ambient	R_{thJA}	Thermal resistance, junction- ambient, leaded	-	-	62	
Soldering temperature, wavesoldering only allowed at leads	T_{sold}	1.6 mm (0.063 in.) from case for 10 s	-	-	260	°C

Electrical characteristics, at $T_j=25$ °C, unless otherwise specified

Static characteristics

Diode forward voltage	V_F	$I_F=15$ A, $T_j=25$ °C	-	1.65	1.8	V
		$I_F=15$ A, $T_j=150$ °C	-	2.55	-	
Reverse current	I_R	$V_R=1200$ V, $T_j=25$ °C	-	15	360	μA
		$V_R=1200$ V, $T_j=150$ °C	-	60	1500	

AC characteristics

Total capacitive charge	Q_c	$V_R=400$ V, $I_F \leq I_{F,max}$, $di_F/dt=200$ A/μs, $T_j=150$ °C	-	54	-	nC
Switching time ²⁾	t_c		-	-	<10	ns
Total capacitance	C	$V_R=1$ V, $f=1$ MHz	-	750	-	pF
		$V_R=300$ V, $f=1$ MHz	-	60	-	
		$V_R=600$ V, $f=1$ MHz	-	54	-	

¹⁾ J-STD20 and JESD22

²⁾ t_c is the time constant for the capacitive displacement current waveform (independent from T_j , I_{LOAD} and di/dt), different from t_{rr} which is dependent on T_j , I_{LOAD} and di/dt . No reverse recovery time constant t_{rr} due to absence of minority carrier inj

³⁾ Under worst case Z_{th} conditions.

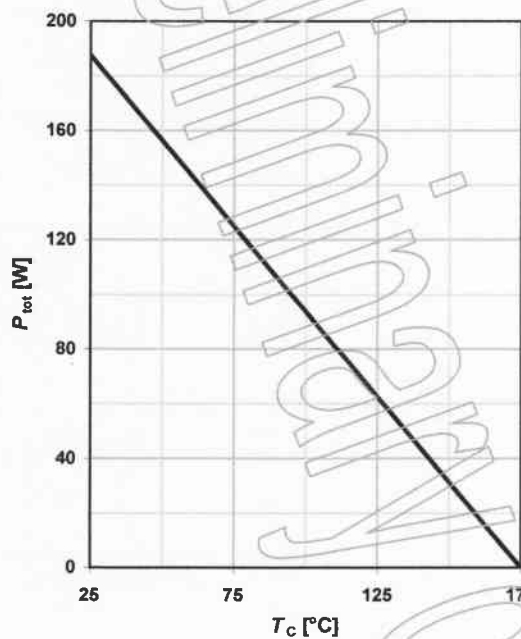
⁴⁾ Only capacitive charge occurring, guaranteed by design



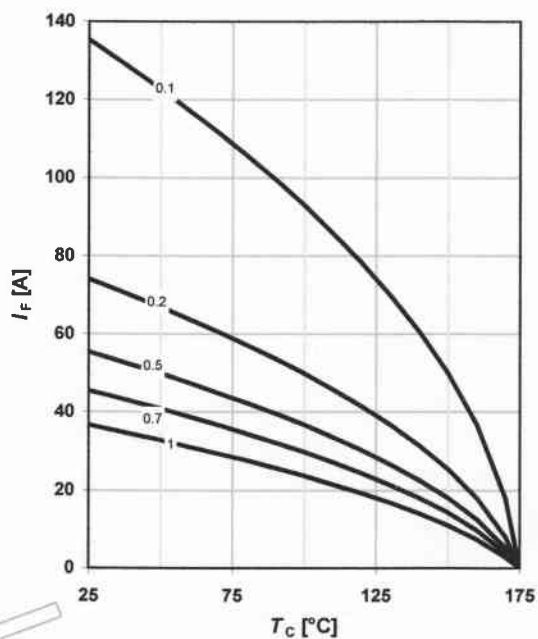
IDH15S120

1 Power dissipation

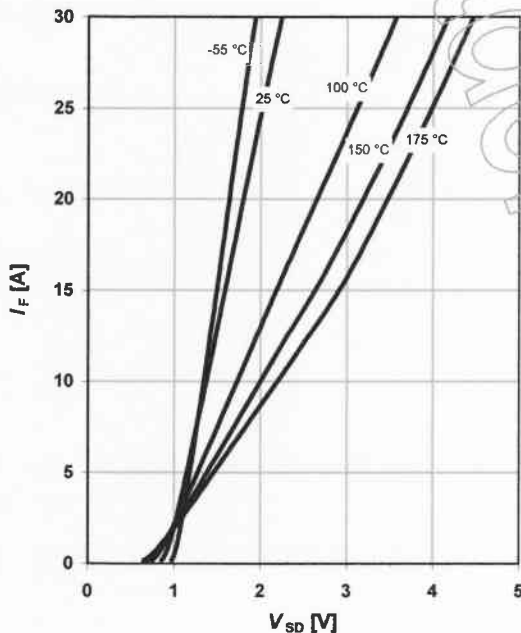
$$P_{\text{tot}} = f(T_C)$$

**2 Diode forward current**

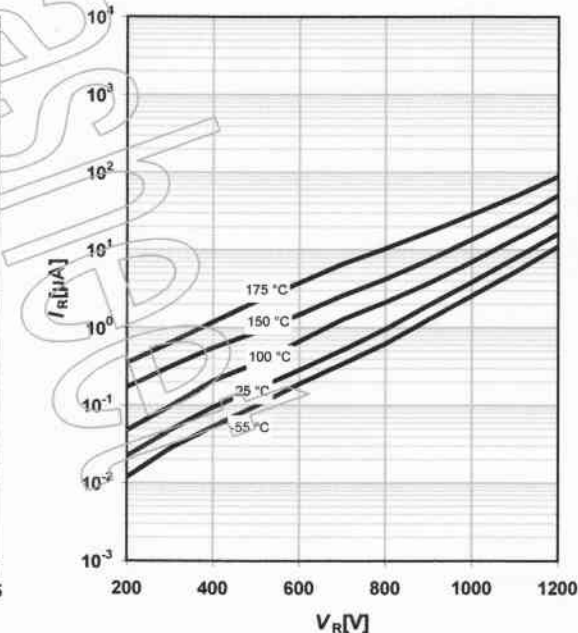
$$I_F = f(T_C); T_j \leq 175 \text{ °C}$$

**3 Typ. forward characteristic**

$$I_F = f(V_{SD}); t_p = 400 \mu\text{s}$$

parameter: T_j **5 Typ. reverse current vs. reverse voltage**

$$I_R = f(V_R)$$

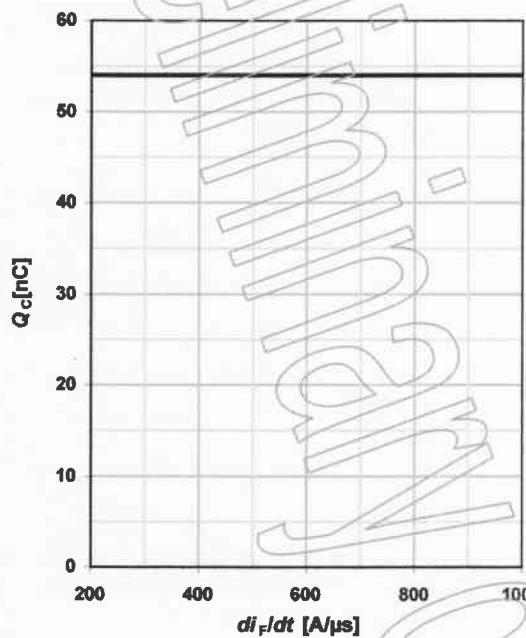
parameter: T_j 



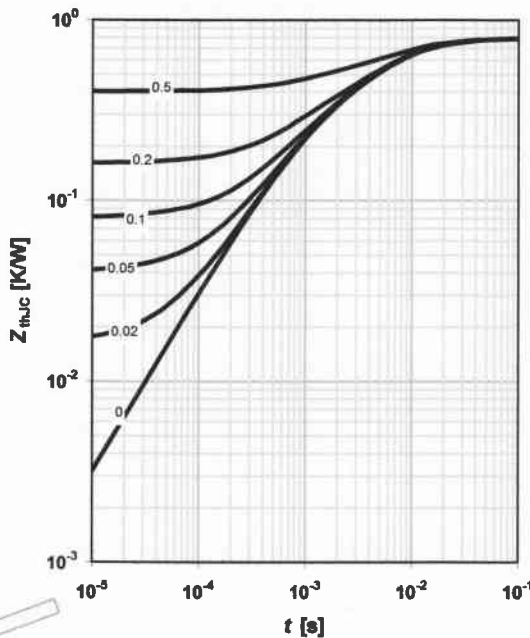
IDH15S120

5 Typ. capacitance charge vs. current slope

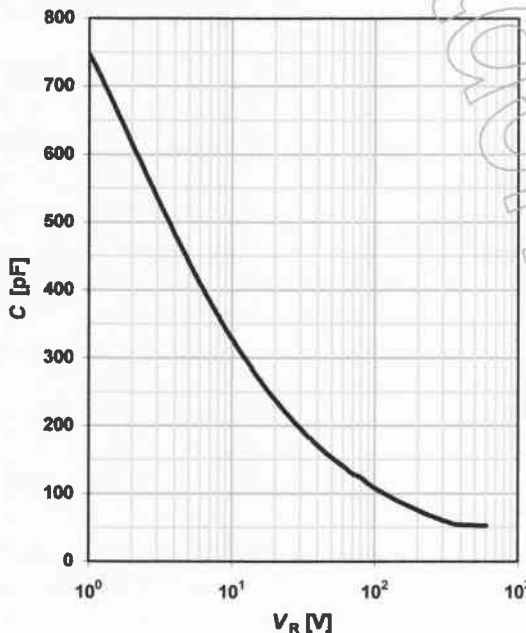
$$Q_C = f\left(\frac{di_F}{dt}\right)^2; T_j = 150^\circ C$$

**6 Transient thermal impedance**

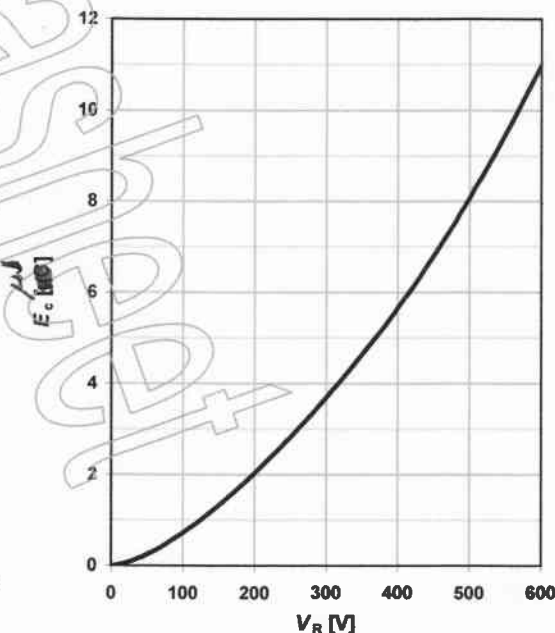
$$Z_{thJC} = f(t_p)$$

parameter: $D = t_p/T$ **7 Typ. capacitance vs. reverse voltage**

$$C = f(V_R); T_C = 25^\circ C, f = 1 \text{ MHz}$$

**8 Typ. C stored energy**

$$E_C = f(V_R)$$



Tentti 14.12.2009

RATKAISUT

Tehtävät 1-3: Katso kirjaTehtävä 4:

Kuvasta 3 nähdään, että $I_F = f(V_{SD})$ on melko lineaarinen virta-alueella $10 \dots 15 \text{ A}$ kun $T_J = 175^\circ\text{C}$

$$\begin{aligned} \text{Interpoloidaan: } I_F = 10 \text{ A} &\Rightarrow V_{SD} \approx 2.2 \text{ V} \\ I_F = 15 \text{ A} &\Rightarrow V_{SD} \approx 2.9 \text{ V} \end{aligned}$$

$$V_{SD}(12 \text{ A}) \approx \frac{2.9 \text{ V} - 2.2 \text{ V}}{15 \text{ A} - 10 \text{ A}} (12 \text{ A} - 10 \text{ A}) + 2.2 \text{ V} \approx 2.5 \text{ V}$$

$$\Rightarrow \text{Johtohäviöt } E_{H_{ON}} = I_F \cdot V_{SD} \cdot t_{ON} = 12 \text{ A} \cdot 2.5 \text{ V} \cdot 25 \mu\text{s} = 0.75 \text{ mJ}$$

Estotilan häviöt:

$$\text{Kuvasta 5: } I_R \approx 18 \mu\text{A} \quad \text{kun } T_J = 175^\circ\text{C} \text{ ja } V_R = 900 \text{ V}$$

$$E_{H_{OFF}} = V_R \cdot I_R \cdot t_{OFF} = 900 \text{ V} \cdot 18 \mu\text{A} \cdot 25 \mu\text{s} \approx 0.4 \mu\text{J}$$

Päälekhykentähäviöt ovat mitättömät koska datalehden sivun 1 mukaan diodilla "No forward recovery". Lisäksi diodin jännitteen muutoksen määrää lähinnä taajuusmuuttajassa käytetty transistori, joten liitoskapasitanssiin varastoitunut energia muuttuu lämmöksi lähimä siellä.

Virran kathaisussa syntyvät liitoskapasitanssin varaukumisesta johtuvat häviöt voidaan "varman päälle" laskeudella arvioida olevan yhtäsuuret kuin liitoskapasitanssiin varautuva energia

Teht. 4 jatkuu

Datalehden kuva 8 antaa suoraan ko. energian, mutta valitettavasti jännite loppuu 600V arvoon. Siten joudutaan ekstrapoloimaan käyrän 900V arvoon.

Lihipitään

$$E_c \approx 23 \mu J$$

Kokonaishäviöenergia on siten jakson aikana

$$E_{HOT} = E_{HON} + E_{HOFF} + E_c \approx 0,75 mJ + 0,0004 mJ + 0,023 mJ \\ \approx 0,773 mJ$$

Selvästikin estotilan häviöillä eikä edes katkaisuhäviöillä ole tässä tapauksessa suurta merkitystä.

Kokonaishäviöteho on keskiarvollaan

$$P_{H_{AVE}} = f \cdot E_{HOT} = \frac{1}{50 \mu s} \cdot 0,773 mJ \approx 15,5 W$$

Lämpövarustus $R_{thJC} = 0,8 \text{ K/W}$ datalehden mukaan.

Koska lyhyttaataajuus on paljon suurempi kuin 1 kHz, voidaan laskea lämpenemä häytille keskimääräistä häviötähoa. Siten

$$T_J \underset{\max}{\geq} P_{H_{AVE}} (R_{thJC} + R_{thCA}) + T_A$$

$$\text{josta saadaan } R_{thCA} \leq \frac{T_J - T_A - R_{thJC} P_{H_{AVE}}}{P_{H_{AVE}}} \\ = \frac{175^\circ C - 60^\circ C - 0,8 \text{ K/W} \cdot 15,5 \text{ W}}{15,5 \text{ W}} \\ \approx 6,6 \text{ K/W}$$

Teh. 5

$$P = 2,5 \text{ W}$$

a) $A = 0,15 \text{ dm}^2 + 0,7 \text{ dm}^2 = 0,85 \text{ dm}^2$ (kaikki pinnat)

$$R_{th,a} = 11,7 \cdot 0,85^{-0,7} \cdot 2,5^{-0,15}$$

$$\approx 11,4 \frac{\text{K}}{\text{W}}$$

b) $A = 0,7 \text{ dm}^2$ (ei pohjan kantta jäähtymisistä)

$$R_{th,b} = 11,7 \cdot 0,7^{-0,7} \cdot 2,5^{-0,15}$$

$$\approx 13,1 \frac{\text{K}}{\text{W}}$$

c) $R_{th} = \frac{l}{A\lambda}$ Piirilevy

$$l = 2 \text{ mm} = 0,002 \text{ m}$$

$$A = 0,15 \text{ dm}^2 = 0,0015 \text{ m}^2$$

$$\lambda = 0,3 \frac{\text{W}}{\text{Km}}$$

$$\Rightarrow R_{th} = \frac{0,002 \text{ m}}{0,0015 \text{ m}^2 \cdot 0,3 \frac{\text{W}}{\text{Km}}} \approx 4,44 \frac{\text{K}}{\text{W}}$$

d) Lasketaan arvio ensin sille, kuinka suuri on muuntajan "pohjan" lämpövastus ilman pilirevyä

$$\frac{1}{R_{th,pohja}} + \frac{1}{R_{th,b}} = \frac{1}{R_{th,a}}$$

$$\Rightarrow R_{th,pohja} = \frac{R_{th,b} \cdot R_{th,a}}{R_{th,b} - R_{th,a}} = \frac{13,1 \frac{\text{K}}{\text{W}} \cdot 11,4 \frac{\text{K}}{\text{W}}}{13,1 \frac{\text{K}}{\text{W}} - 11,4 \frac{\text{K}}{\text{W}}} \approx 87,8 \frac{\text{K}}{\text{W}}$$



Teht. 5 jatkuu

Piirilevyn kanssa pohjan lämpövarustus on siten suurin piirtein

$$R_{th} = R_{th\text{pohja}} + R_{th\text{levy}} \approx 87,8 \frac{K}{W} + 4,44 \frac{K}{W}$$

$$\approx 92,3 \frac{K}{W}$$

Ja koko muuntajan lämpövarustus noin

$$R_{th} = \frac{R_{thb} \cdot R_{th\text{pohja} + \text{levy}}}{R_{thb} + R_{th\text{pohja} + \text{levy}}}$$

$$= \frac{13,1 \frac{K}{W} \cdot 92,3 \frac{K}{W}}{13,1 \frac{K}{W} + 92,3 \frac{K}{W}}$$

$$\approx 11,5 \frac{K}{W}$$

Toisin sanoen piirilevy ei sinänsä vaikuta palsoakseen muuntajan jäähdytymiseen.

Piirilevyllä olevat muut komponentit sen sijaan estäävät ilman virtausta ja lämmittävät ympäristöä.
Siten todellinen muuntajan lämpövarustus on käytäntössä isompi.